

圧入ケーソン工法における圧入抵抗に関する実験的研究

名城大学 正会員 ○ 清水泰弘
 トピー建設(株) " 角田安一
 名城大学 " 泉清明

1. はじめに

圧入ケーソン工法は、図-1に示すようにアースアンカーに反力を取りケーソン軸体をセンターホルダキで地盤内に沈設してゆく工法である。ケーソン圧入時に生ずる沈下抵抗力には、主なものに刃先抵抗力と周面摩擦抵抗力およびアースアンカーの引抜抵抗力がある。

この工法は、従来のケーソン工法に比べて工事中の公害防止の問題を十分に解決できる新工法であり、施工面でも工期短縮や工事面積の縮小にも有利な点が多く、既設構造物の近接施工も行なえる。しかし、ケーソン圧入時の刃先抵抗力と周面摩擦抵抗力については、十分に判明しておらず、その研究成果もまだ少ないのである。

そこで、この工法における圧入時に生ずる刃先抵抗力と周面摩擦抵抗力を解明すべき研究を進めている。これまでに、二次元平面ひずみ状態の模型実験装置で地盤および刃先角度をパラメーターとして実験を行ない刃先抵抗力について研究してきた。本報告では、その後行なった三次元大型模型実験装置による実験の結果の一部をまとめたので報告する。

2. 実験方法

この研究で使用した三次元模型実験装置は、直径180cm、高さ337.9cmの大きさで、図-2に示すような形状である。載荷装置は実験装置の最上部に取り付けられており、機械式シャキを2つのモーターと変速機を使用して0.1%minより78.3%minの無段変速が出来るように製作した。実験は変位制御で行ない、圧入力は2セグメントの荷重変換器によつて計測し、10cmストロークの変位変換器と共に、XYレコーダーで記録を行なつた。

ケーソン模型は、一边が19.6cmの正方形と直径25cmの円形で壁厚2.0cm、長さ40cmの筒形のものを製作した。このケーソン模型は、刃先角度を30°とし、それ以下の内周長、外周長、断面積、壁断面積などほぼ同じになるように製作したもの。

模型地盤は、直径150cm、深100cmの鋼製円筒土槽を作り、その中に各層20cmによろよろ振動プレートによつて川砂を締め固め、各層の織目を乱しながら成形した。実験中のケーソン内の堀削は、沈下量3cmごとに繰り返し、特別製の堀削具によつて注意

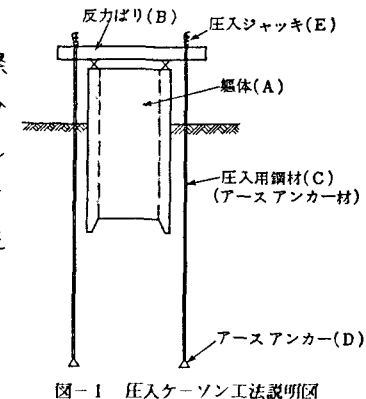


図-1 圧入ケーソン工法説明図

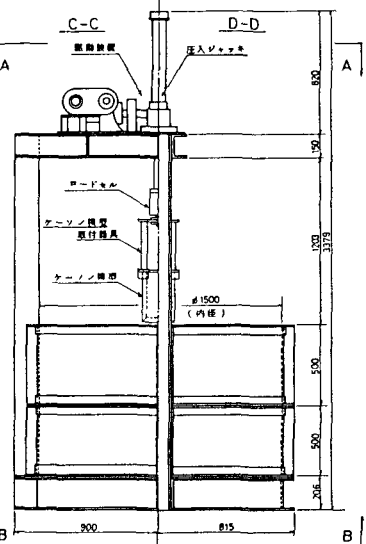


図-2 圧入ケーソン三次元実験装置図

深く行なった。地盤表面のケーツン周辺部の沈下分布を調べるために、3方向に9コの変位変換器を設置し、1cm沈下するごとに計測した。今回は地盤に川砂を一定含水比のもとに締め固めた地盤についての実験結果について報告する。なお、その川砂の物性を表-1にしめす。

3. 実験結果

圧入力-圧入量曲線の一例として、上載荷重 0.078 kg/cm^2 、刃先角度 30° で正方形ケーツンのケースを示すと図-3、-4のようである。圧入量が3cmに達した時にケーツン内を所定の深さまで掘削してあるため、圧入力の減少が現われ、鋸歯型の曲線とは、異なる。掘削による圧入力の減少は、その時の最大圧入力の約 $3/4$ にもなつてあり、掘削の効果を示すものである。図中に示している点線は安定限界圧入力曲線と呼んでいる。掘削終了後、再び載荷してケーツンに沈下が始まると点を結んだ曲線である。図-3では、周面摩擦抵抗力と刃先抵抗力（刃先先端は幅2mmである）の合力と考えられ、図-4は、ケーツン先端よりさらに2cm深く掘削しているので、刃先抵抗力は存在せず、周面摩擦抵抗力のみの値を示すものと考えられる。しかし、実物に比べ小規模な実験であり、特に自重作用が期待できない模型実験であることから、両図における周面摩擦抵抗力は過少にあらわされているものと考えられる。

図-5は、正方形ケーツンの圧入力から円形ケーツンの圧入力を差し引いた値を示した図であり、薄い色で示した部分が円形ケーツンより正方形ケーツンの圧入力が大きい場合を示しており、黒色で示してある部分はその逆である。これららの形状の異なる二つのケーツンは、その諸形状がヨリ内外周長、断面積、壁厚断面積等に刃先角度がヨリ同一条件で製作されていて、異なる所は正方形ケーツンに4ヶ所の偶角部を持つことである。偶角部の刃先形状から、この偶角部直下の地盤が他の部分に比べより圧縮され応力集中が生ずることが考えられる。この応力集中度を調べてみると、圧入量10cmの時に全圧入力の約60%にも達することが判明した。

表-1 地盤材料物性表

試験項目	記号	B(秒)	単位
最大粒径	D_{max}	2.00	mm
均等係数	U_c	1.93	mm
曲率係数	U_c'	1.32	mm
平均含水比	W	12.00	%
単位体積重量	γ_c	1.78	t/m ³
内部摩擦角	ϕ	39.50	°
粘着力	C	0.10	kg/cm
乾燥密度	γ_d	1.59	g/cm ³
変形係数	E_∞	27.00	kg/cm

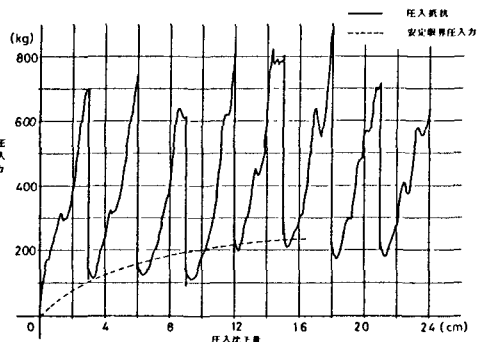


図-3 圧入力-圧入量曲線図（正方形、先掘り無し）

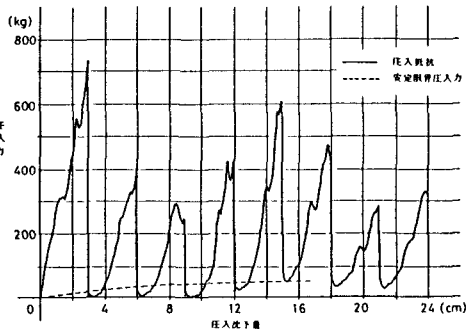


図-4 圧入力-圧入量曲線図（正方形、先掘り有り）

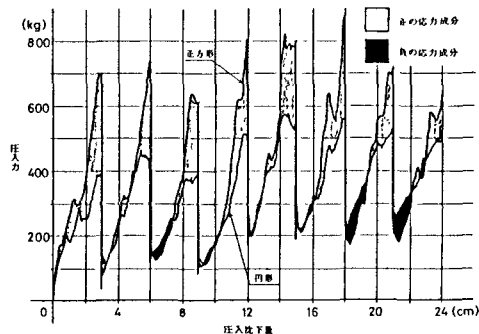


図-5 圧入量と応力集中度の関係図